

### 4-3 真性半導体

真性半導体では不純物の影響がないため、熱エネルギー等を得て価電子が自由電子となった場合、電子が抜けた穴である正孔を残すので、電子と正孔の数は等しくなる。すなわち、電子密度  $n$  と正孔密度  $p$  の関係は

$$n = p = n_i \quad \cdots(4.16)$$

となる。ここで、 $n_i$  を真性キャリア密度という。真性半導体の  $np$  積は

$$np = n_i^2 = N_c N_V e^{-E_G/kT}$$

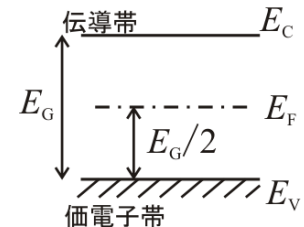
となる。よって

$$n = p = \sqrt{N_c N_V} e^{-E_G/2kT} \quad \cdots(4.17)$$

また、フェルミ準位  $E_F$  は

$$E_F = \frac{E_C + E_V}{2} + \frac{3}{4} kT \ln \left( \frac{m_h^*}{m_e^*} \right) = \frac{E_G}{2} + E_V + \frac{3}{4} kT \ln \left( \frac{m_h^*}{m_e^*} \right) \quad \cdots(4.20)$$

ここで、 $m_e^* = m_h^*$  の場合を考えると、 $E_F = \frac{E_G}{2} + E_V$  となり、フェルミ準位が禁制帯の中央に位置することになる。実際のフェルミ準位は若干  $E_C$  寄りとなる。



真性半導体

図 1 真性半導体のフェルミ準位

### 4-4 不純物半導体(I)

#### ・n 形半導体のキャリア密度とフェルミ準位

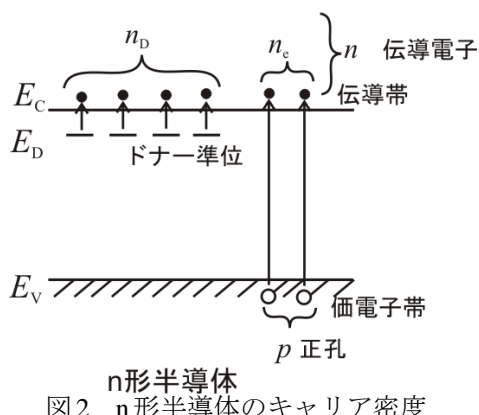


図 2 n 形半導体のキャリア密度

$n_D$  : ドナーから励起した電子密度

$n_e$  : 価電子帯から励起した電子密度

$p$  : 価電子帯から励起した電子による正孔密度 ( $= n_e$ )

伝導電子密度 :  $n$

$$n = n_D + n_e = n_D + p$$

(4.11)、(4.14)式から

$$N_C e^{-\frac{E_C - E_F}{kT}} = \frac{N_D}{e^{\frac{E_F - E_D}{kT}} + N_V e^{-\frac{E_F - E_V}{kT}}}$$

#### i) 極低温の場合

温度  $T$  が極低温の時、伝導帯に励起する電子は非常に少ない。温度が上がるとドナーは次第にイオン化され、ドナー準位から励起した伝導電子が増加していく。

フェルミ準位  $E_F$  は

$$E_F \approx \frac{1}{2}(E_D + E_C) - \frac{1}{2}kT \ln \frac{N_C}{N_D} \quad \cdots(4.25)$$

と表され、極低温では  $E_F$  は  $E_C$  と  $E_D$  の中央に位置し、温度上昇により  $E_F$  は低下する。電子密度  $n$  は

$$\ln n = \frac{1}{2} \ln N_D N_C - \frac{E_C - E_D}{2kT} \quad \cdots(4.27)$$

この領域を「不純物領域(impurity range)」という。

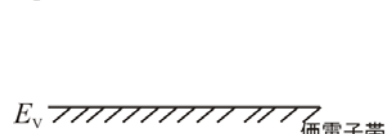
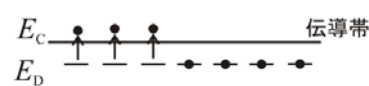


図 3 低温でのキャリア密度

#### ii) さらに温度上昇 (i より僅かに高温の場合)

フェルミ準位  $E_F$  が温度上昇とともに低下し、ドナー準位  $E_D$  と一致した時を考えると、電子密度  $n$  は

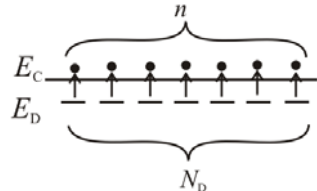
$$n = \frac{N_D}{1 + e^{(E_D - E_F)/kT}} = \frac{N_D}{2} \quad \cdots(4.28)$$

iii) 中温の場合 (ii よりさらに温度上昇)

ドナーはほとんどがイオン化され、ドナー準位の電子が伝導帯に励起する。すなわち、

$$n \equiv n_D \equiv N_D \rightarrow \ln n = \ln N_D \quad (\text{一定})$$

$$E_F \approx E_C - kT \ln \frac{N_C}{N_D} \quad \dots(4.30)$$

$n \equiv N_D$  が成立している領域を「**飽和領域(saturation range)**」という。 図 4 中温でのキャリア密度

iv) 高温の場合

価電子帯からの熱励起による電子の方が、ドナーからの電子より多くなり、不純物(ドナー)の影響が無視できるようになる。すなわち、真性的性質を持つようになり、 $E_F$  は真性半導体と同様に禁制帯のほぼ中央に位置することになる。

$$E_F = \frac{1}{2}(E_C + E_V) + \frac{1}{2}kT \ln \frac{N_V}{N_C} \quad \dots(4.19)$$

$$\ln n = \frac{1}{2} \ln N_C N_V - \frac{E_C - E_V}{2kT}$$

この領域を「**真性領域(intrinsic range)**」という。

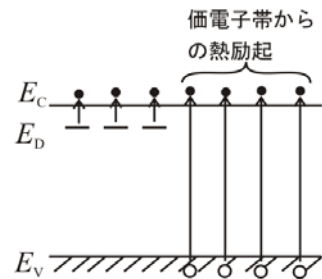


図 5 高温でのキャリア密度

フェルミ準位の温度依存性

p 形半導体のフェルミ準位の温度依存は n 形半導体の場合と逆になる。

i ) 低温

$E_F$  は  $E_C$  と  $E_D$  の中央から温度上昇により低下する。

iii) 中温

温度  $T$  の増加に従って  $E_F$  は急激に低下する。

iv) 高温

真性半導体と同じく禁制帯のほぼ中央に位置する。

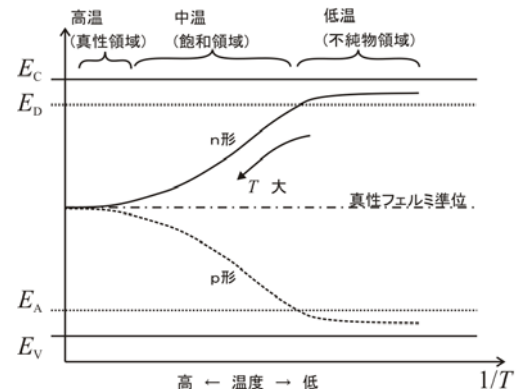


図 6 フェルミ準位の温度依存性

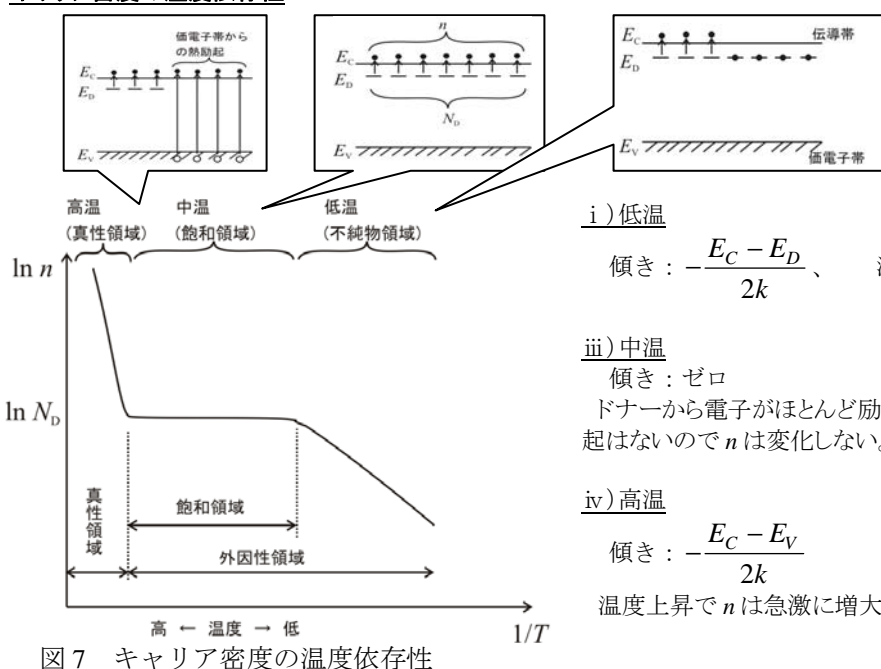
キャリア密度の温度依存性

図 7 キャリア密度の温度依存性

i ) 低温  
傾き :  $-\frac{E_C - E_D}{2k}$ 、 温度上昇で  $n$  は増加

iii) 中温  
傾き : ゼロ  
ドナーから電子がほとんど励起され、価電子帯からの電子の励起はないので  $n$  は変化しない。

iv) 高温  
傾き :  $-\frac{E_C - E_V}{2k}$   
温度上昇で  $n$  は急激に増大(低温より増加の割合が大きい)